Attività di monitoraggio sismico degli edifici strategici e formazione del volontariato di protezione civile





European Regional Development Fund

READINESS AGENDA STRATEGICA



Risultati del monitoraggio sismico della Torre di Ingegneria dell'UnivPM



Prof. Ing. Fabrizio Gara f.gara@univpm.it







- Strumentazione utilizzata e configurazioni di misura
- * Risultati identificazione dinamica e modellazione FEM
- Calibrazione modello FEM

Monitoraggio continuo

- Installazione del sistema di monitoraggio
- * Risultati del monitoraggio
- Dipendenza dei parametri modali da temperatura e vento
- Non linearità
- * Rimozione degli effetti delle condizioni ambientali

- Utilità del monitoraggio
- Monitoraggi con sensori low-cost
- Prestazioni di alcuni sensori low-cost

- Strumentazione utilizzata e configurazioni di misura
- * Risultati identificazione dinamica e modellazione FEM
- Calibrazione modello FEM

Monitoraggio continuo

- Installazione del sistema di monitoraggio
- Risultati del monitoraggio
- Dipendenza dei parametri modali da temperatura e vento
- Non linearità
- * Rimozione degli effetti delle condizioni ambientali

- Monitoraggio lato struttura
- Diffusione dei monitoraggi dinamici tramite l'utilizzo di sensori MEMS
- Prestazioni dei sensori MEMS

Strumentazione utilizzata e configurazioni di misura



Accelerometri PCB 393B31

Ceramic Flexural ICP Sensitivity (±5%) 10.0 V/g Broadband Resolution: 0.000001 g rms Measurement range: 0.5 g pk

Frequency range: 0.1 to 200 Hz



Schede di acquisizione NI 9234

Four channel dynamic signal acquisition module ADC resolution 24 bits Signal ranges: ±5 V Sample Rate: 51.2 kS/s/ch



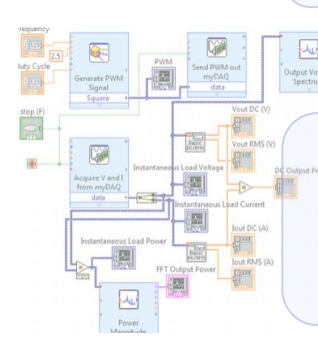
NI cDAQ 9178

Chassis CompactDAQ USB a 8 slot



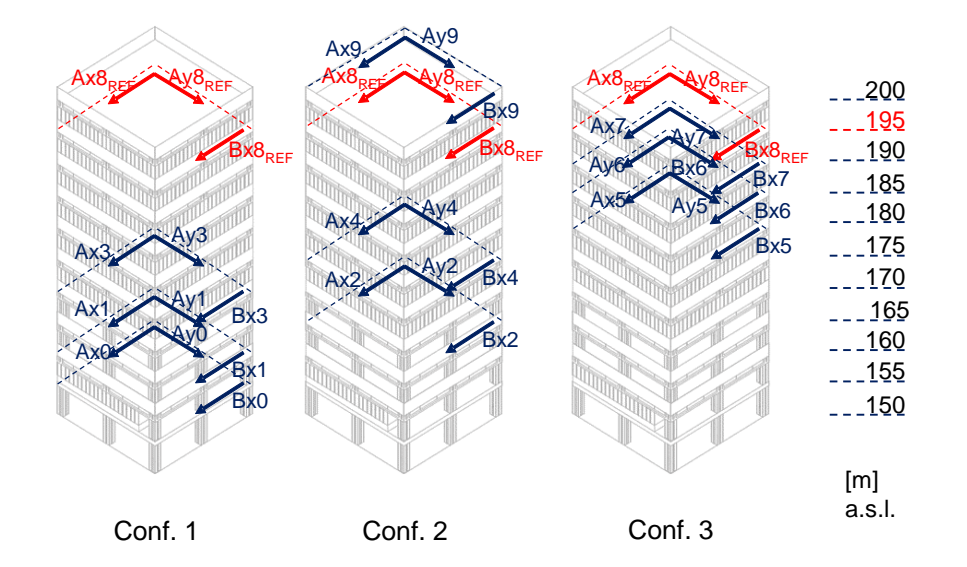
Cavi coassiali con connettori BNC

(lunghezze varie da 30 a 100 m collegabili in serie)



Software di acquisizione Labview

Ambiente di sviluppo integrato per il linguaggio di programmazione visuale di National Instruments



Configurazioni di misura

- 3 accelerometri per piano
- Ipotesi di piano indeformabile
- Fs = 2048 Hz
- Registrazioni di 30 minuti

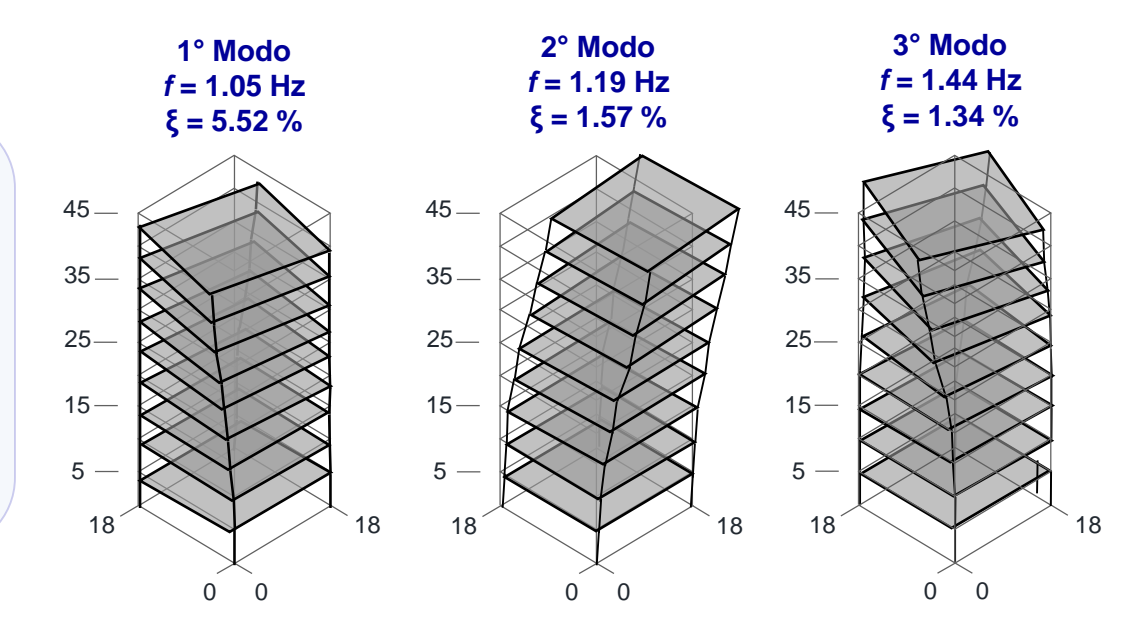


Qualche difficoltà legata all'utilizzo di sensori cablati

Risultati identificazione dinamica e calibrazione modello FEM

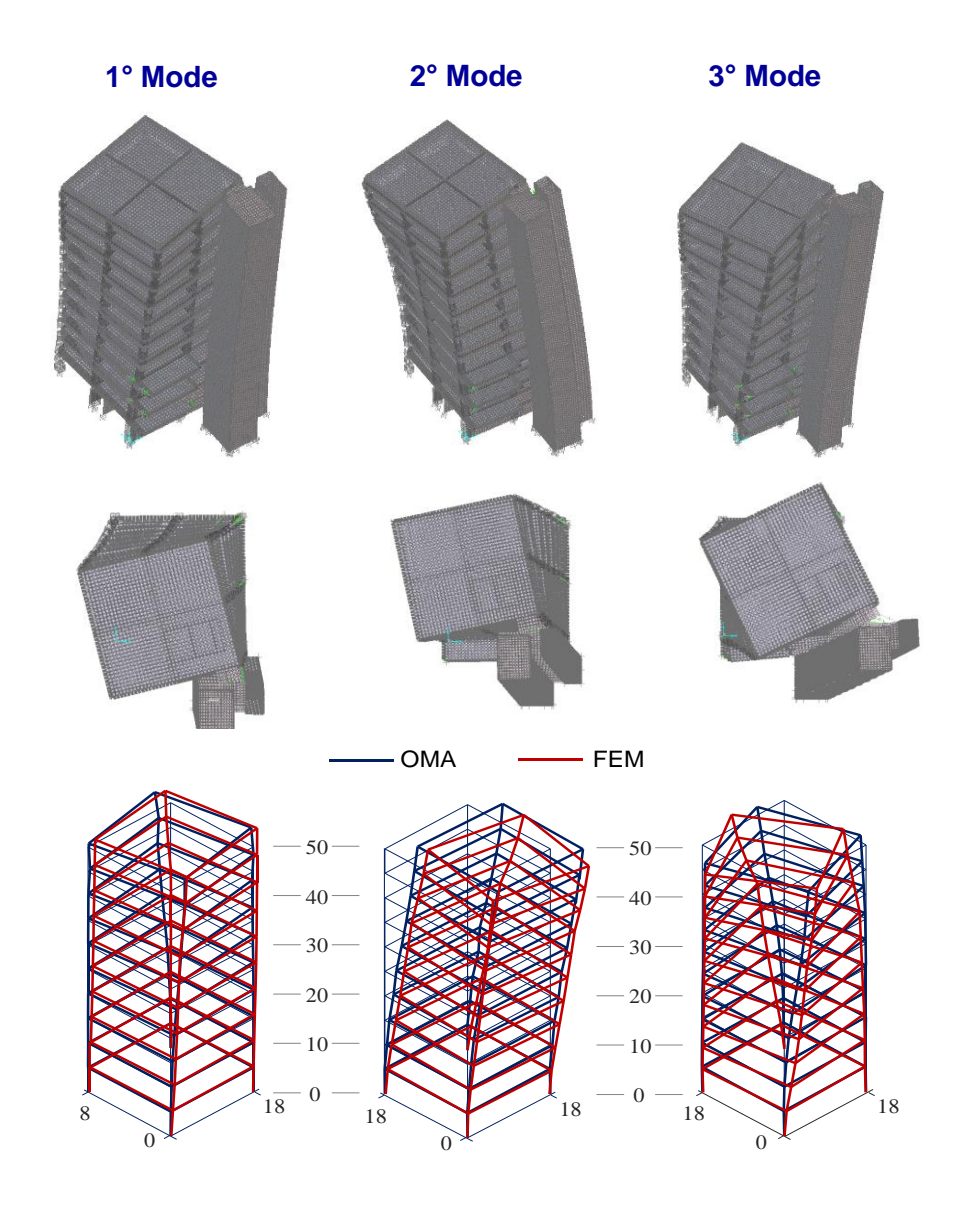
- Pre-trattammento delle registrazioni (controllo visivo, individuazione eventuali spike, filtraggio, ricampionamento a 51.2 Hz, rimozione andamenti spuri)
- Elaborazione delle acquisizioni tramite algoritmo SSI (stochastic subspace identification)
- Scalatura delle forme modali rispetto al riferimento (tramite tecnica POSER)





- Travi e pilastri modellate mediante elementi frame
- Solai, tamponature esterne e interne, pareti scala-ascensori modellate con elementi shell
- Modulo elastico degli elementi in c.a. incrementato del 20 % rispetto ai risultati delle prove statiche
- ❖ Interazione torre-corpo scala-ascensori tramite link lineari
- Modello finalizzato a riprodurre il comportamento della struttura in condizioni operative, calibrato sulla base dei risultati delle prove di vibrazione ambientali

Risultati modello FEM



- Risultati dell'analisi modale eseguita sul modello agli elementi finiti
- Confronto dei risultati ottenuti dall'identificazione dinamica con i risultati dell'analisi FEM: frequenze e forme modali (indice MAC - Modal Assurance Criterion)

modo	sperimentale f [Hz]	modello FEM f [Hz]	Errore [%]		
1°	1.05	1.07	7.2		
2°	1.21	1.18	-0.53		
3°	1.51	1.49	1.19		

ficati	95,96%	9,62%	3,43%		
identificati	46,98%	90,17%	1,58%		
Modi	1,83%	2,71%	98,10%		
Modello FEM					

$$MAC_{i,j} = \frac{\left|\varphi_i^T \varphi_j\right|^2}{(\varphi_i^T \varphi_i)(\varphi_j^T \varphi_j)} \le 1$$

- Strumentazione utilizzata e configurazioni di misura
- * Risultati identificazione dinamica e modellazione FEM
- Calibrazione modello FEM

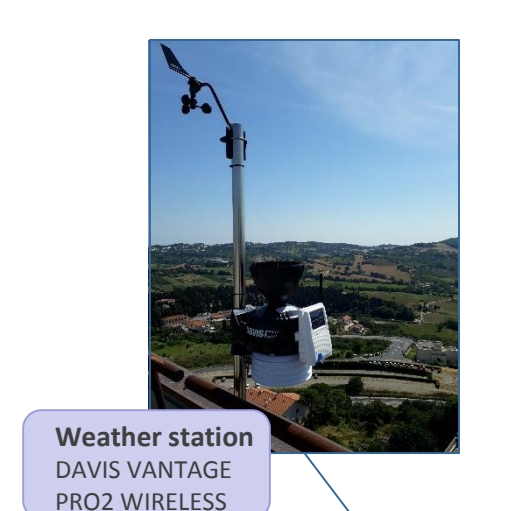
Monitoraggio continuo

- Installazione del sistema di monitoraggio
- Risultati del monitoraggio
- Dipendenza dei parametri modali da temperatura e vento
- Non linearità
- * Rimozione degli effetti delle condizioni ambientali

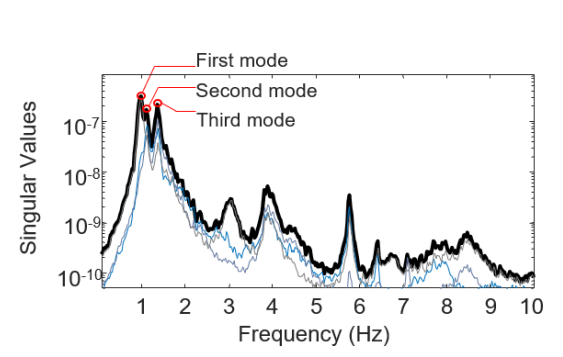
- Monitoraggio lato struttura
- Diffusione dei monitoraggi dinamici tramite l'utilizzo di sensori MEMS
- Prestazioni dei sensori MEMS

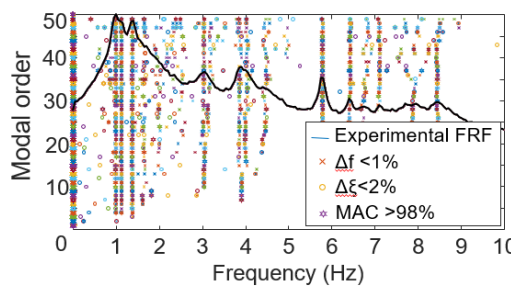
Installazione del sistema di monitoraggio

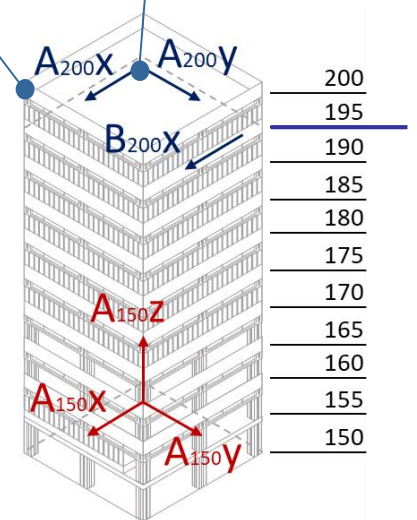
- Installazione di un sistema di acquisizione permanente, cablato, composto da tre accelerometri all'ultimo piano della torre oltre che un velocimetro in fondazione
- Sviluppo di una routine per l'estrazione automatica dei parametri modali; vengono correttamente rilevati i primi 3 modi di vibrare della torre
- Ad ogni acquisizione, registrazione dei valori di:
 - temperatura
 - vento: velocità e direzione



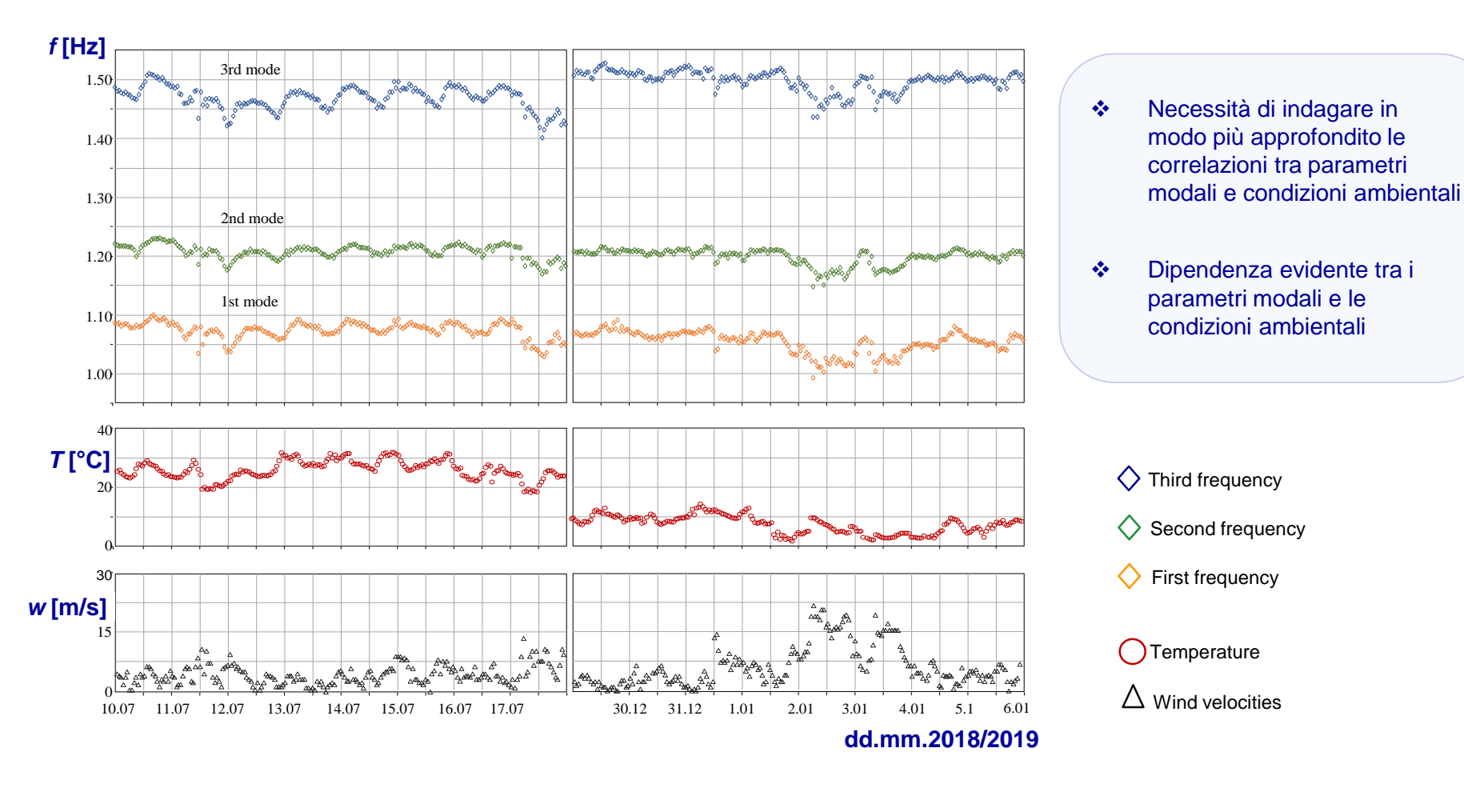




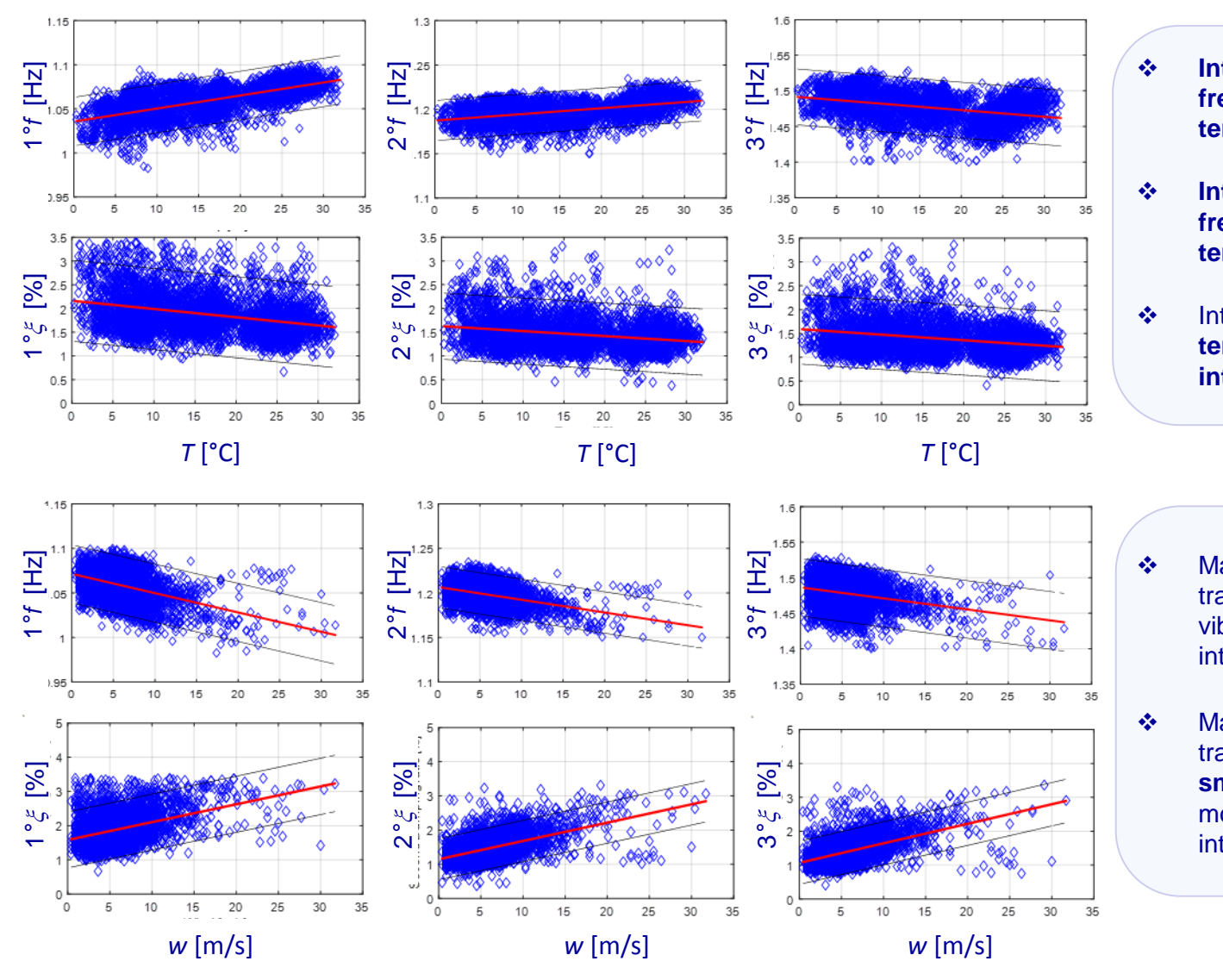




Risultati del monitoraggio



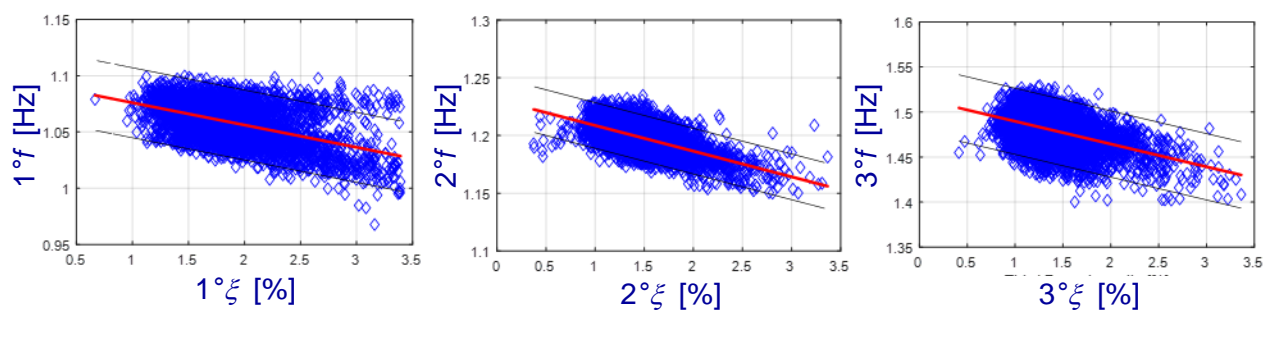
Dipendenza di frequenze e smorzamenti da temperatura e vento



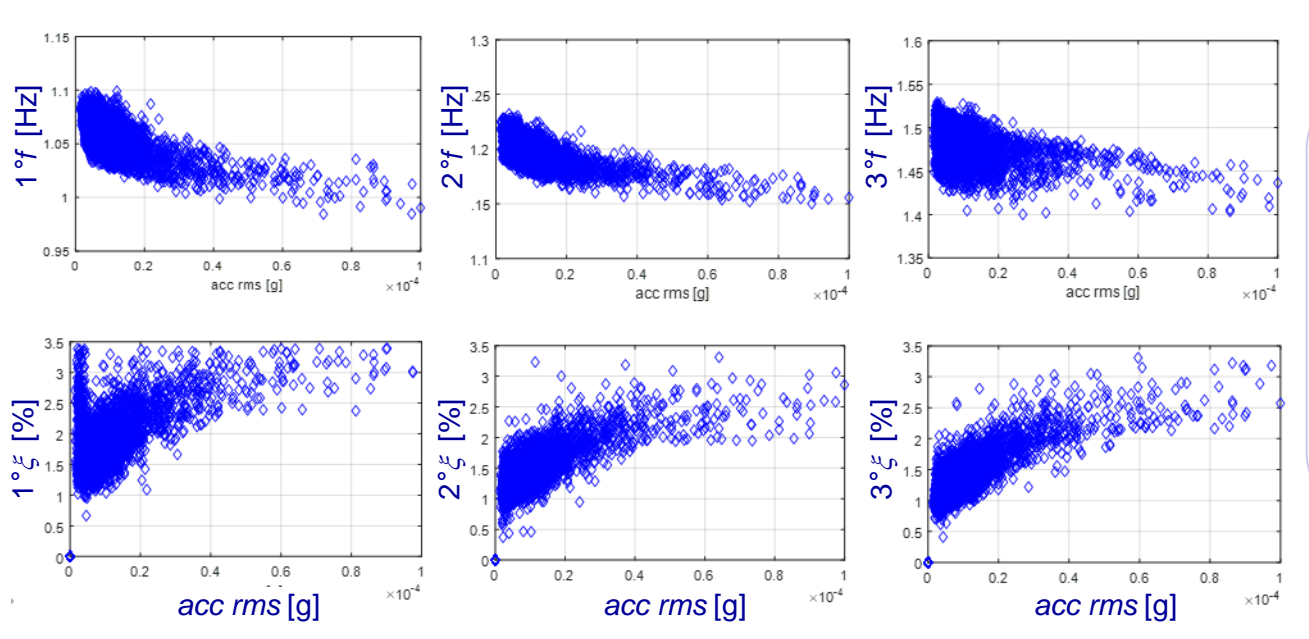
- Interazione positiva tra 1° e 2° frequenza f di vibrazione e temperatura T
- Interazione negativa tra la terza frequenza di vibrazione e la temperatura
- Interazione tra smorzamento e temperatura di difficile interpretazione

- Marcata interazione negativa tra i valori di frequenza di vibrazione e i valori misurati di intensità del vento
- Marcata interazione positiva tra i valori del fattore di smorzamento associato ai tre modi e i valori misurati di intensità del vento

Non linearità

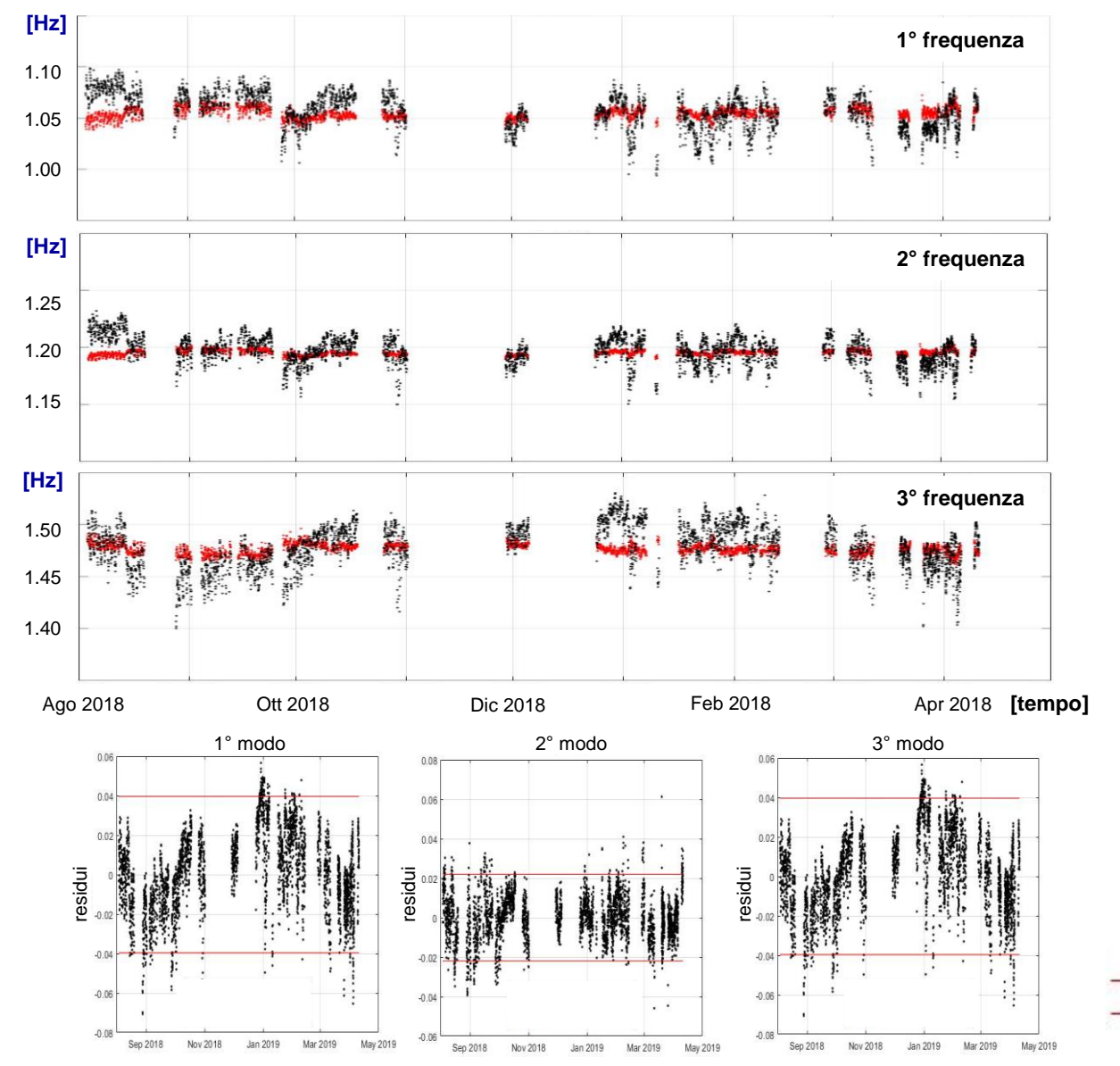


Alla diminuzione delle frequenze di vibrazione corrisponde, statisticamente, un aumento dei valori del fattore di smorzamento



- Non linearità della risposta della torre a variazioni dell'intensità dell'eccitazione
- Per accelerazione maggiori (valori medi) si registrano valori di:
 - frequenza di vibrazione inferiori
 - fattore di smorzamento maggiori

Rimozione degli effetti delle condizioni ambientali



Rimozione della variabilità dei parametri modali a causa dei parametri ambientali tramite analisi delle componenti principali (PCA)

- Definizione di "control charts" a seguito di un periodo di addestramento sufficientemente lungo (12 – 18 mesi)
- Introduzione di un parametro "novelty index" (residui, norma euclidea, distanza di Mahalanobis) al fine di identificare variazioni nel comportamento strutturale
- residui
 estremo confidenza sup 95%
 estremo confidenza inf 95%

- Strumentazione utilizzata e configurazioni di misura
- Risultati identificazione dinamica e modellazione FEM
- Calibrazione modello FEM

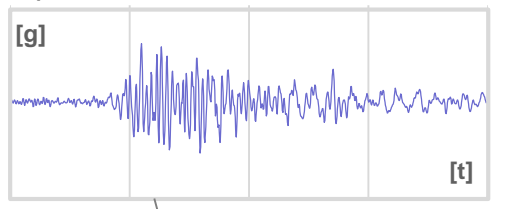
Monitoraggio continuo

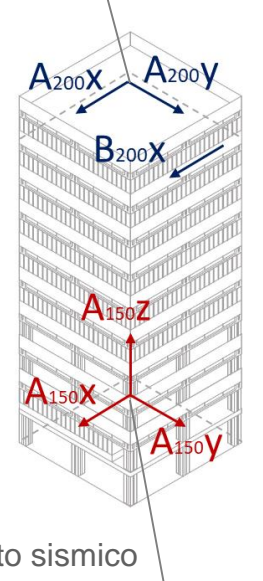
- Installazione del sistema di monitoraggio
- Risultati del monitoraggio
- Dipendenza dei parametri modali da temperatura e vento
- Non linearità
- * Rimozione degli effetti delle condizioni ambientali

- Monitoraggio lato struttura
- Utilizzo sensoristica MEMS per monitoraggio
- Prestazioni dei sensori MEMS

Utilità del monitoraggio

Risposta della struttura



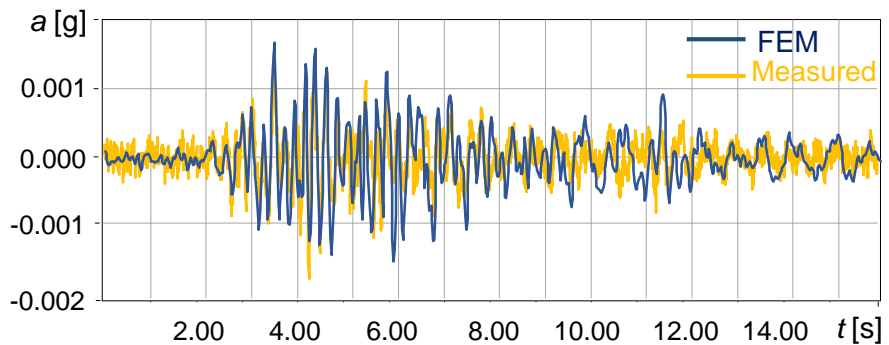


- Diversi eventi sismici registrati duranti il periodo di monitoraggio
- Evento sismico di magnitudo M=3.5 avvenuto in zona: Costa Marchigiana Pesarese (PU) il 31-08-2018
- Possibilità di registrare la risposta dell'edificio a terremoti frequenti
- Informazioni real time sullo stato di salute dell'edificio pre- e post-evento
- Minor incertezze lato struttura per la valutazione della vulnerabilità

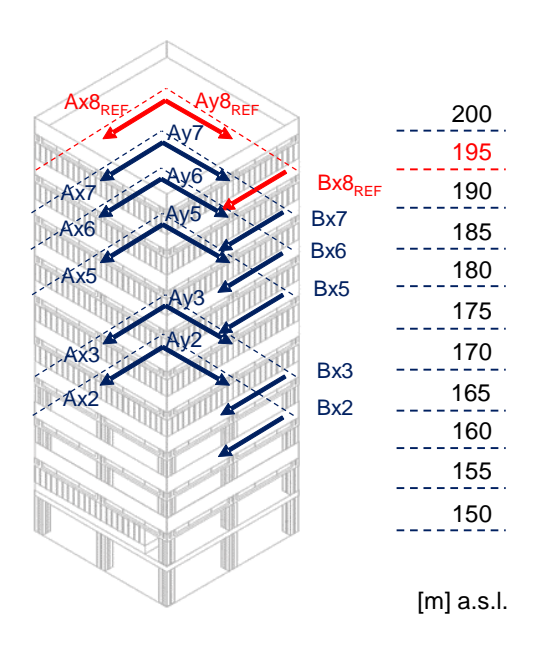
data	ora	M	prov.
04/04/2019	04:33:33	2.3	PG
28/03/2019	16:25:54	2	AP
28/03/2019	12:08:30	2.2	AP
28/03/2019	11:12:05	2.4	AP
28/03/2019	10:55:37	3.6	AP
28/03/2019	10:22:26	3.1	AP
28/03/2019	05:34:06	2.1	MC
28/03/2019	03:16:12	2.5	AP
27/03/2019	23:03:50	3.1	AP
27/03/2019	22:00:41	2.9	AP
27/03/2019	21:59:18	3.1	FM
26/03/2019	19:54:47	2.4	PG
22/03/2019	13:35:27	2.2	MC
20/03/2019	02:30:32	2	AP
15/03/2019	15:56:56	2.5	AP







Monitoraggi con sensori low-cost

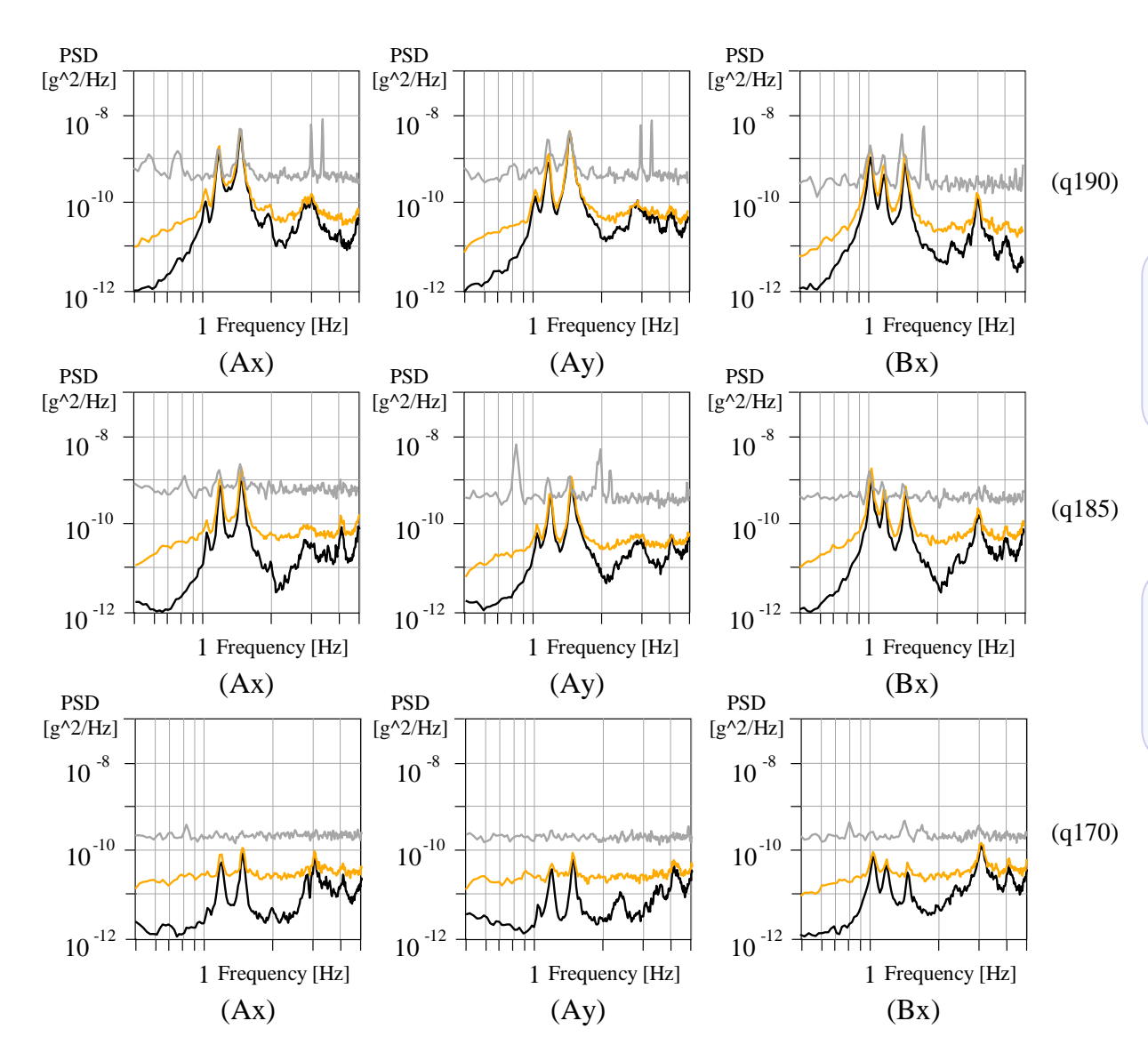


- Utilizzando come benchmark i risultati dei test dinamici svolti con accelerometri piezoelettrici, sono stati testati due tipologie di sensori MEMS appartenenti a due fasce di prezzo differente:
 - Colibrys VS1002
 - ADXL 355
- Test svolti tenendo come riferimento i sensori all'ultimo piano e misurando le accelerazioni piano per piano, nei due punti di misura



	PCB 393B31		ADXL 355			COLIBRYS VS 1002				
Mode	f [Hz]	csi [%]	f [Hz]	err. [%]	csi [%]	err. [%]	f [Hz]	err. [%]	csi [%]	err. [%]
1	1.04	1.60	1.03	-0.6%	1.26	-21.2%	1.04	0.00%	1.75	9.1%
2	1.19	1.32	1.19	-0.4%	1.48	12.2%	1.19	-0.15%	1.38	4.7%
3	1.49	1.48	1.49	-0.2%	1.36	-8.1%	1.49	-0.14%	1.45	-1.9%

Prestazioni di alcuni sensori low-cost

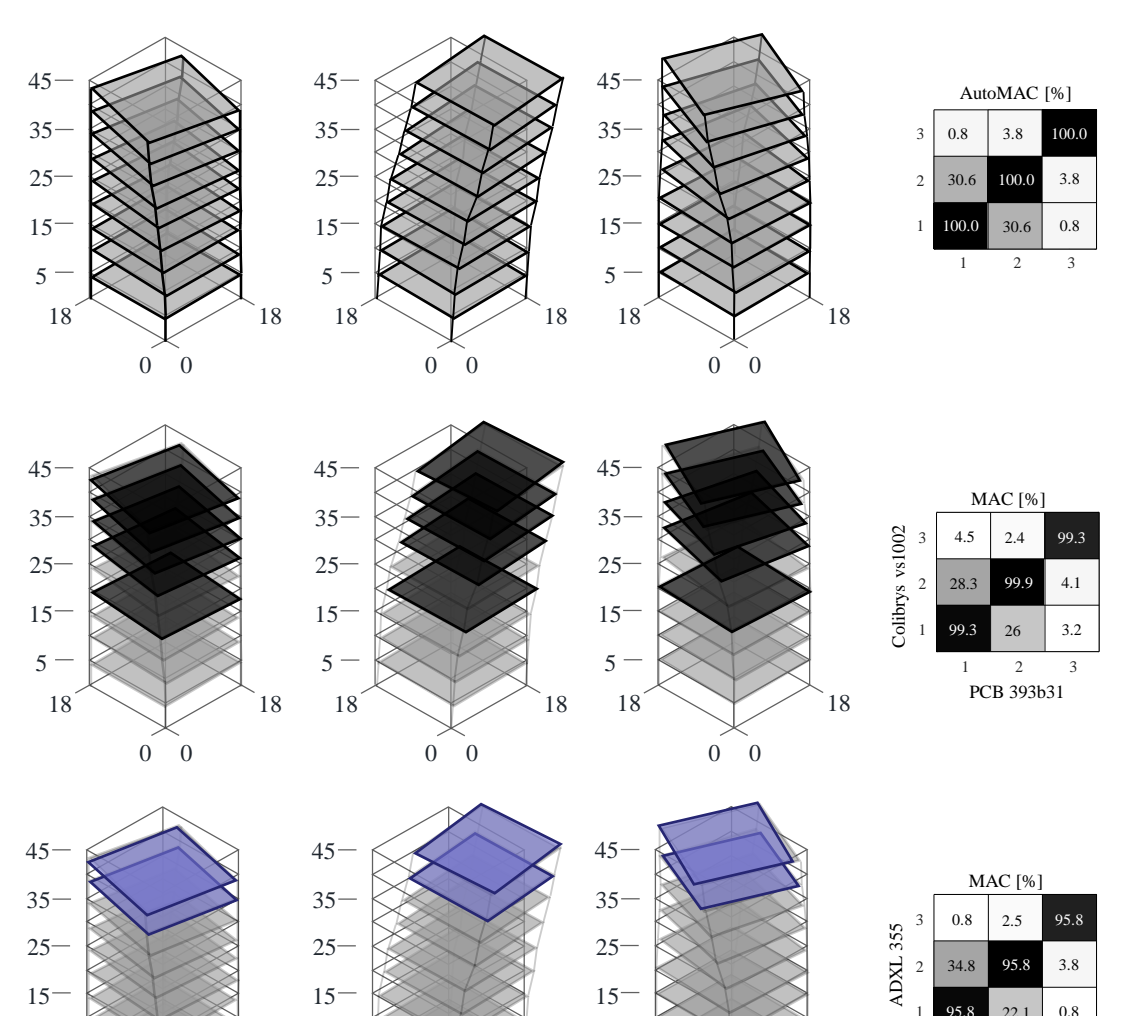


I sensori MEMS Colibrys consentono l'identificazione delle frequenze fondamentali al pari dei piezoelettrici

I sensori MEMS ADXL 355 possono essere utilizzati per monitorare tramite OMA gli ultimi piani della torre.

1 2 PCB 393b31

Prestazioni di alcuni sensori low-cost



5 —

18

0

18

5 —

18

0

5 —

18

0

18

Risultati ottenuti con sensori MEMS Colibrys sovrapponibili ai risultati ottenuti con accelerometri piezoelettrici

Risultati meno precisi utilizzando gli ADXL 355 ma si riesce comunque ad identificare la dinamica degli ultimi due piani

Progetto strategico di Ateneo 2016-2018

"Structural Health Monitoring of Constructions with Wireless Sensor Network (SHM-WSN)"

Dottorato innovativo 2018-2020 (finanziato Regione) - Ing. Arezzo

Riduzione del rischio sismico e monitoraggio di strutture strategiche o di rilevanza culturale

ReLUIS 2019-2021, linee:

- WP4-9 MAppe di Rischio e Scenari di danno sismico Modelli e curve di fragilità dei ponti
- WP6-2 Monitoraggio e dati satellitari Infrastrutture rilevanti (ponti, viadotti)
- WP12-9 Contributi normativi relativi a Costruzioni civili e industriali di acciaio e composte acciaiocalcestruzzo - Ponti con struttura di acciaio o composta acciaio-calcestruzzo

Progetto Cariverona 2020-2022 (domanda in corso di valutazione)

PROTECT - maPping the seismic Risk Of straTEgiC consTructions

Attività di monitoraggio sismico degli edifici strategici e formazione del volontariato di protezione civile





European Regional Development Fund

READINESS AGENDA STRATEGICA



GRAZIE PER L'ATTENZIONE



Prof. Ing. Fabrizio Gara f.gara@univpm.it





